

Prowadzący instalację:

P4 Sp. z o. o.  
ul. Wynalazek 1  
02-677 Warszawa

Katowice, 2024-03-18

Adres do korespondencji:

P4 Sp. z o. o.  
ul. Zabrska 17  
40-083 Katowice

## STAROSTA NOWOSĄDECKI

# Przedłożenie informacji o zmianie danych w instalacji

o których mowa w przedłożeniu informacji dla NWS7010B z dnia 2020-07-27

dotyczy: informacji o zmianie w zakresie danych w przedłożeniu informacji dla NWS7010B.

**Adres zakładu, na którego terenie prowadzona jest eksploatacja instalacji:**

33-334 Kamionka Wielka, dz. nr 2786, gm. Kamionka Wielka, pow. nowosądecki

Podstawa prawna: ustawa z dnia 27 kwietnia 2001 r. Prawo ochrony środowiska, art. 152, ust 6, pkt 1, lit. c)

Niniejsza informacja zawiera wyłącznie dane, które uległy zmianie.

**1) Oznaczenie prowadzącego instalację, jego adres zamieszkania lub siedziby.**

*Brak zmian.*

**2) Rodzaj i zakres prowadzonej działalności, w tym wielkość produkcji lub wielkość świadczonych usług.**

*Usługi telekomunikacyjne, transmisja danych: 1TB/doba.*

**3) Czas funkcjonowania instalacji (dni tygodnia i godziny).**

*Brak zmian.*

**4) Wielkość i rodzaj emisji.**

*Dane przed zmianą:*

| L.p. | Nazwa anteny | Wysokość<br>[m n.p.t.] | Rodzaj<br>emisji | Równoważna<br>moc<br>promieniowana<br>izotropowo | Azymut | Kąt<br>pochylenia | Częstotliwość |
|------|--------------|------------------------|------------------|--|--------|-------------------|---------------|
| 1    | 11_DGHLNTV   | 59                     | PEM              | 1321 W   | 95°    | 0-10°             | 800 MHz       |
| 2    | 11_DGHLNTV   | 59                     | PEM              | 1479 W   | 95°    | 0-10°             | 900 MHz       |

|    |            |    |     |        |      |       |          |
|----|------------|----|-----|--------|------|-------|----------|
| 3  | 11_DGHLNTV | 59 | PEM | 5260 W | 95°  | 2-10° | 1800 MHz |
| 4  | 11_DGHLNTV | 59 | PEM | 5742 W | 95°  | 2-10° | 2100 MHz |
| 5  | 11_DGHLNTV | 59 | PEM | 6096 W | 95°  | 2-10° | 2600 MHz |
| 6  | 21_DHLNTV  | 59 | PEM | 1321 W | 260° | 0-10° | 800 MHz  |
| 7  | 21_DHLNTV  | 59 | PEM | 1479 W | 260° | 0-10° | 900 MHz  |
| 8  | 21_DHLNTV  | 59 | PEM | 5260 W | 260° | 2-10° | 1800 MHz |
| 9  | 21_DHLNTV  | 59 | PEM | 5742 W | 260° | 2-10° | 2100 MHz |
| 10 | 21_DHLNTV  | 59 | PEM | 6096 W | 260° | 2-10° | 2600 MHz |
| 11 | 31_DHLNTV  | 59 | PEM | 1321 W | 350° | 0-10° | 800 MHz  |
| 12 | 31_DHLNTV  | 59 | PEM | 1479 W | 350° | 0-10° | 900 MHz  |
| 13 | 31_DHLNTV  | 59 | PEM | 5260 W | 350° | 2-10° | 1800 MHz |
| 14 | 31_DHLNTV  | 59 | PEM | 5742 W | 350° | 2-10° | 2100 MHz |
| 15 | 31_DHLNTV  | 59 | PEM | 6096 W | 350° | 2-10° | 2600 MHz |
| 16 | RL1        | 59 | PEM | 933 W  | 281° |       | 18 GHz   |

Dane po zmianie:

| L.p. | Nazwa anteny | Wysokość<br>[m n.p.t.] | Rodzaj<br>emisji | Równoważna<br>moc<br>promieniowana<br>izotropowo | Azymut | Kąt<br>pochylenia | Częstotliwość |
|------|--------------|------------------------|------------------|--|--------|-------------------|---------------|
| 1    | 11_GHLNTV    | 59                     | PEM              | 2636 W   | 95°    | 0-10°             | 800 MHz       |
| 2    | 11_GHLNTV    | 59                     | PEM              | 1479 W   | 95°    | 0-10°             | 900 MHz       |
| 3    | 11_GHLNTV    | 59                     | PEM              | 5260 W   | 95°    | 2-12°             | 1800 MHz      |
| 4    | 11_GHLNTV    | 59                     | PEM              | 5742 W   | 95°    | 2-12°             | 2100 MHz      |
| 5    | 11_GHLNTV    | 59                     | PEM              | 6096 W   | 95°    | 2-12°             | 2600 MHz      |
| 6    | 21_GHLNTV    | 59                     | PEM              | 2636 W   | 260°   | 0-10°             | 800 MHz       |
| 7    | 21_GHLNTV    | 59                     | PEM              | 1479 W   | 260°   | 0-10°             | 900 MHz       |
| 8    | 21_GHLNTV    | 59                     | PEM              | 5260 W   | 260°   | 2-12°             | 1800 MHz      |
| 9    | 21_GHLNTV    | 59                     | PEM              | 5742 W   | 260°   | 2-12°             | 2100 MHz      |
| 10   | 21_GHLNTV    | 59                     | PEM              | 6096 W   | 260°   | 2-12°             | 2600 MHz      |
| 11   | 31_GHLNTV    | 59                     | PEM              | 2636 W   | 350°   | 0-10°             | 800 MHz       |
| 12   | 31_GHLNTV    | 59                     | PEM              | 1479 W   | 350°   | 0-10°             | 900 MHz       |
| 13   | 31_GHLNTV    | 59                     | PEM              | 5260 W   | 350°   | 2-12°             | 1800 MHz      |
| 14   | 31_GHLNTV    | 59                     | PEM              | 5742 W   | 350°   | 2-12°             | 2100 MHz      |
| 15   | 31_GHLNTV    | 59                     | PEM              | 6096 W   | 350°   | 2-12°             | 2600 MHz      |
| 16   | RL1          | 59                     | PEM              | 2951 W   | 275°   |                   | 23 GHz        |
| 17   | RL2          | 59                     | PEM              | 3631 W   | 290°   |                   | 32 GHz        |

##### 5) Opis stosowanych metod ograniczania wielkości emisji.

Brak zmian.

##### 6) Informacja, czy stopień ograniczania wielkości emisji jest zgodny z obowiązującymi przepisami.

Stopień ograniczenia wielkości emisji jest zgodny z obowiązującymi przepisami.

##### 7) (uchylony)

-/-



**8) Sprawozdanie z wykonanych pomiarów poziomów pól EM, o których mowa w art. 122a ust. 1 pkt 1.**

*Sprawozdanie nr 089/2024/OS/13 z dnia 2024-03-07, Nr akredytacji PCA – AB 1571.*



AB 1571



SOLDI Sp. z o.o.  
ul. Bieżanowska 22  
30-812 Kraków

# Sprawozdanie nr 089/2024/OS/13

Sprawozdanie z badania natężenia pól elektromagnetycznych  
wykonanych w środowisku

Miejsce wykonania badania:

(dane uzyskane od klienta)

**NWS7010\_B**

33-334 Kamionka Wielka

dz. nr 2786,

pow. Nowosądecki, woj. małopolskie

Data zakończenia badania:

07.03.2024 r.

Klient:

P4 Sp. z o.o.

ul. Wynalazek 1

02-677 Warszawa

Autoryzacja / wydanie sprawozdania:

Bez pisemnej zgody laboratorium, sprawozdanie nie może być powielane inaczej, jak tylko w całości.

## 1. Podstawa prawna

Badania wykonano zgodnie z obecnie występującymi aktami prawnymi:

- Ustawa z dnia 27 kwietnia 2001 r. Prawo ochrony środowiska (Dz. U. 2022 poz. 2556 z zm.),
- Rozporządzenie Ministra Zdrowia z dnia 17 grudnia 2019 r. w sprawie dopuszczalnych poziomów pól elektromagnetycznych w środowisku (Dz. U. 2019 poz. 2448),
- Rozporządzenie Ministra Klimatu z dnia 17 lutego 2020 r. w sprawie sposobów sprawdzania dotrzymania dopuszczalnych poziomów pól elektromagnetycznych w środowisku (Dz. U. 2022 poz. 2630).

## 2. Aparatura pomiarowa

Podczas badań użyto następującej aparatury pomiarowej:

**Tabela nr 1**

| Miernik szerokopasmowy        | Sondy                | Zakres częstotliwościowy | Zakres pomiarowy* | Świadectwo wzorcowania                      |
|-------------------------------|----------------------|--------------------------|-------------------|---|
| Narda<br>NBM-550<br>Nr E-0201 | EF-0391<br>nr A-0447 | 0,1 – 3 600 MHz          | 0,5 – 300 V/m     | LWiMP/W/090/23;<br>data wydania: 03.03.2023 |
| Narda<br>NBM-550<br>Nr E-0201 | EF-6092<br>nr A-0062 | 80 – 90 000 MHz          | 0,8 – 300 V/m     | LWiMP/W/055/23;<br>data wydania: 20.02.2023 |

\*Do wyznaczenia poprawnej wartości natężenia pola elektromagnetycznego uwzględniono współczynniki korekcyjne z właściwego świadectwa wzorcowania.

Aparaturę pomiarową charakteryzują następujące wartości niepewności pomiaru obliczone i przedstawiona zgodnie z dokumentem PN-EN 50413. Podane wartości niepewności stanowią niepewności rozszerzone dla poziomu ufności 95% i współczynnika rozszerzenia  $k=2$ .

Procedury wdrożone w laboratorium pozwalają zapewnić odporność elektromagnetyczną miernika.

Niepewność pomiarowa wyznaczona dla zainstalowanych i skonfigurowanych obiektów – źródeł pól, jak w dniu pomiaru wynosi 36%.

Dodatkowa aparatura pomiarowa:

- Kompas (busola) [UP/29/Sw]
- Cyfrowy miernik wilgotności względnej i temperatury powietrza TERMIKPLUS nr fab. 121121 [UP/42/Sw]  
(Świadectwo wzorcowania: 0065/AH/22; data wydania: 21.01.2022)
- Taśma miernicza geodezyjna 50 m [UP/32/Sw]  
(Świadectwo wzorcowania: U/21/51-512120028.2; data wydania: 10.03.2021)
- Odbiornik GPS HUAWEI P20 [UP/23/Sw]

### 3. Opis badania:

Badanie przeprowadziło Laboratorium Badawcze Soldi na podstawie zlecenia firmy P4 Sp. z o.o.

Badanie wykonano zgodnie z:

*Załącznikiem do rozporządzenia Ministra Klimatu z dnia 17 lutego 2020 r. w sprawie sposobów sprawdzania dotrzymania dopuszczalnych poziomów pól elektromagnetycznych w środowisku (Dz. U. 2022 poz. 2630).*

Badania promieniowania elektromagnetycznego, którego źródłem są urządzenia wyszczególnione w punkcie 4 sprawozdania przeprowadzono w pionach pomiarowych na kierunkach zbliżonych do azymutów badanej instalacji, w szczególności w tych miejscach, w których na podstawie uprzednio przeprowadzonych obliczeń, stwierdzono występowanie w danych zakresach częstotliwości pól-EM o poziomach zbliżonych do poziomów dopuszczalnych oraz do odległości, dla której stwierdzono w miejscach dostępnych dla ludności występowanie pól elektromagnetycznych o najwyższym poziomie, które pochodzą z badanej instalacji. Badania pól elektromagnetycznych przeprowadzono w pionach pomiarowych wzdłuż głównych kierunków pomiarowych, dodatkowych pionach oraz w miejscach dostępnych dla ludności w otoczeniu instalacji. W przyjętych pionach pomiarowych pomiary wykonano na wysokościach od 0,3 m do 2,0 m nad powierzchnią terenu albo nad innymi miejscami dostępnymi dla ludności. W pobliżu urządzeń, obiektów i elementów metalowych pomiary wykonano w odległości nie mniejszej niż 0,3 m od tych urządzeń, obiektów i elementów metalowych.

Przy sprawdzeniu dotrzymania dopuszczalnych poziomów pól elektromagnetycznych w środowisku nie uwzględnia się poprawek pomiarowych ze względu, na fakt iż pomiary wykonywane są przy użyciu miernika szerokopasmowego.

#### 4. Informacje przekazane przez klienta

Tabela nr 2 – Opis obiektu, w otoczeniu którego wykonano badania oraz określenie terenu wokół stacji

Tabela nr 2a – Szczegółowe dane źródła pól dla anten mikrofalowych

Tabela nr 2b – Szczegółowe dane źródła pól dla anten sektorowych

**Tabela nr 2**

| Opis obiektu, w otoczeniu którego wykonano pomiary |  |
|--|--|
| Rodzaj konstrukcji wsporczej:                      | Stalowa wieża kratowa  |
| Wysokość wieży:                                    | 62,0 m n.p.t.  |
| Rodzaj terenu wokół stacji bazowej:                | Stacja bazowa zlokalizowana jest na terenie wiejskim, w najbliższym otoczeniu stacji znajdują się tereny rolne oraz leśne. |

**Tabela nr 2a**

| Charakterystyka promieniowania  |                    |                           |                     | kierunkowa                    |                     |            |                        |               |               |
|---------------------------------|--------------------|---------------------------|---------------------|-------------------------------|---------------------|------------|------------------------|---------------|---------------|
| Rzeczywisty czas pracy [h/dobę] |                    |                           |                     | 24                            |                     |            |                        |               |               |
| Rodzaj wytwarzanego pola        |                    |                           |                     | stacjonarne                   |                     |            |                        |               |               |
| Linia radiowa                   |                    |                           |                     | Antena                        |                     |            |                        |               |               |
| Lp.                             | Typ nadajnika      | Częstotliwość pracy [GHz] | Moc wyjściowa [dBm] | Typ / producent               | Średnica anteny [m] | Azymut [°] | Wysokość zainstal. [m] | LON           | LAT           |
| 1                               | MINI-LINK/ERICSSON | 23                        | 24                  | 0.6-23 (ANT3 B 0.6 23 HP/HPX) | 0,6                 | 275        | 59                     | 20°51'11.16"E | 49°34'02.86"N |
| 2                               | MINI-LINK/ERICSSON | 32                        | 22                  | 0.6-32 (ANT3 B 0.6 32 HP/HPX) | 0,6                 | 290        | 59                     | 20°51'11.16"E | 49°34'02.86"N |

**Tabela nr 2b**

| Charakterystyka promieniowania  |                   |                        |            | kierunkowa                                |             |                    |                     |               |               |
|---------------------------------|-------------------|------------------------|------------|---|-------------|--------------------|---------------------|---------------|---------------|
| Rzeczywisty czas pracy [h/dobę] |                   |                        |            | Całodobowa 24h                            |             |                    |                     |               |               |
| Warunki pracy                   |                   |                        |            | Znamionowe                                |             |                    |                     |               |               |
| Rodzaj wytwarzanego pola        |                   |                        |            | stacjonarne                               |             |                    |                     |               |               |
| Lp.                             | Typ nadajnika     | Antena Producent / Typ | Azymut [°] | Wysokość środka elektr. anteny [m n.p.t.] | Pasma [Mhz] | Kąt nachylenia [°] | EIRP dla anteny [W] | LON           | LAT           |
| 1                               | RBS6xxx/2xxx/4xxx | Huawei ASI4517R3       | 95         | 59  | 800         | 0 - 10             | 21213               | 20°51'11.16"E | 49°34'02.84"N |
|                                 | RBS6xxx/2xxx/4xxx |                        |            |   | 900         | 0 - 10             |                     | 20°51'11.16"E | 49°34'02.84"N |
|                                 | RBS6xxx/2xxx/4xxx |                        |            |   | 1800        | 2 - 12             |                     | 20°51'11.16"E | 49°34'02.84"N |
|                                 | RBS6xxx/2xxx/4xxx |                        |            |   | 2100        | 2 - 12             |                     | 20°51'11.16"E | 49°34'02.84"N |
|                                 | RBS6xxx/2xxx/4xxx |                        |            |   | 2600        | 2 - 12             |                     | 20°51'11.16"E | 49°34'02.84"N |
| 2                               | RBS6xxx/2xxx/4xxx | Huawei ASI4517R3       | 260        | 59  | 800         | 0 - 10             | 21213               | 20°51'11.16"E | 49°34'02.84"N |
|                                 | RBS6xxx/2xxx/4xxx |                        |            |   | 900         | 0 - 10             |                     | 20°51'11.16"E | 49°34'02.84"N |
|                                 | RBS6xxx/2xxx/4xxx |                        |            |   | 1800        | 2 - 12             |                     | 20°51'11.16"E | 49°34'02.84"N |
|                                 | RBS6xxx/2xxx/4xxx |                        |            |   | 2100        | 2 - 12             |                     | 20°51'11.16"E | 49°34'02.84"N |
|                                 | RBS6xxx/2xxx/4xxx |                        |            |   | 2600        | 2 - 12             |                     | 20°51'11.16"E | 49°34'02.84"N |
| 3                               | RBS6xxx/2xxx/4xxx | Huawei ASI4517R3       | 350        | 59  | 800         | 0 - 10             | 21213               | 20°51'11.16"E | 49°34'02.84"N |
|                                 | RBS6xxx/2xxx/4xxx |                        |            |   | 900         | 0 - 10             |                     | 20°51'11.16"E | 49°34'02.84"N |
|                                 | RBS6xxx/2xxx/4xxx |                        |            |   | 1800        | 2 - 12             |                     | 20°51'11.16"E | 49°34'02.84"N |
|                                 | RBS6xxx/2xxx/4xxx |                        |            |   | 2100        | 2 - 12             |                     | 20°51'11.16"E | 49°34'02.84"N |
|                                 | RBS6xxx/2xxx/4xxx |                        |            |   | 2600        | 2 - 12             |                     | 20°51'11.16"E | 49°34'02.84"N |

W załączonej tabeli podano maksymalne parametry pracy tej instalacji deklarowane przez prowadzącego instalację. Podczas pomiarów urządzenia użytkownika pracowały przy aktualnie występującym obciążeniu. Anteny o sterowanych wiązkach zostały ustawione w sposób umożliwiający spełnienie wymagań pkt 13 ppkt 2 RMK.

Jako dopuszczalne poziomy gęstości pola elektromagnetycznego przyjmuje się wartość  $2 \text{ W/m}^2$ , co odpowiada natężeniu składowej elektrycznej pola elektromagnetycznego o wartości  $28 \text{ V/m}$  – tj. minimalnej wartości dopuszczalnej dla zakresu częstotliwości od 10 MHz do 300 GHz, dzięki czemu zostaje uwzględniona obecność innych instalacji emitujących pole – EM w sąsiedztwie.



## 5. Wyniki badań i szkic sytuacyjny

Tabela nr 3

| Data wykonania pomiarów | Godzina              |                      | Opady | Temperatura [°C] |            | Wilgotność [%] |            |
|-------------------------|----------------------|----------------------|-------|------------------|------------|----------------|------------|
|                         | Rozpoczęcia pomiarów | Zakończenia pomiarów |       | Minimalna        | Maksymalna | Minimalna      | Maksymalna |
| 28.02.2024              | 9:30                 | 11:00                | Brak  | 5,2              | 6,1        | 42             | 48         |

Temperatura i wilgotność względna nie wyższa niż dopuszczalna specyfikacja miernika.

Tabela nr 4

| Nr pionu / punktu | Lokalizacja pionu / punktu pomiarowego |          |   | Wysokość pomiaru<br>[m] | Wartość zmierzona<br>[V/m] | Wynik badania pola-E <sup>1)</sup><br>[V/m] | Wskaźnik poziomu emisji WM <sub>E</sub> | Wartość wyznaczona pola-H<br>[A/m] | Wskaźnik poziomu emisji WM <sub>H</sub> |
|-------------------|--|----------|---|-------------------------|----------------------------|---|---|------------------------------------|---|
|                   | LAT                                    | LON      | Opis  |                         |                            |   |   |                                    |   |
| 1                 | 2                                      | 3        | 4   | 5                       | 6                          | 7   | 8                                       | 9                                  | 10                                      |
| 1                 | 49.56744                               | 20.85339 | GKP; poziom terenu wokół stacji bazowej               | 2,0                     | 0,6                        | 0,8   | 0,03                                    | 0,002                              | 0,03                                    |
| 2                 | 49.56744                               | 20.85350 | GKP; poziom terenu wokół stacji bazowej               | 2,0                     | 0,6                        | 0,8   | 0,03                                    | 0,002                              | 0,03                                    |
| 3                 | 49.56739                               | 20.85408 | GKP; poziom terenu wokół stacji bazowej               | 2,0                     | 0,5                        | 0,7   | 0,02                                    | 0,002                              | 0,02                                    |
| 4                 | 49.56736                               | 20.85467 | GKP; poziom terenu wokół stacji bazowej               | 2,0                     | 0,6                        | 0,8   | 0,03                                    | 0,002                              | 0,03                                    |
| 5                 | 49.56708                               | 20.85964 | GKP; w odległości 473 m od anteny sektorowej az. 95°  | 2,0                     | 0,5                        | 0,7   | 0,02                                    | 0,002                              | 0,02                                    |
| 6                 | 49.56742                               | 20.85283 | GKP; poziom terenu wokół stacji bazowej               | 2,0                     | 0,5                        | 0,7   | 0,02                                    | 0,002                              | 0,02                                    |
| 7                 | 49.56742                               | 20.85272 | GKP; poziom terenu wokół stacji bazowej               | 2,0                     | 0,6                        | 0,8   | 0,03                                    | 0,002                              | 0,03                                    |
| 8                 | 49.56733                               | 20.85214 | GKP; poziom terenu wokół stacji bazowej               | 2,0                     | 0,8                        | 1,1   | 0,04                                    | 0,003                              | 0,04                                    |
| 9                 | 49.56728                               | 20.85156 | GKP; poziom terenu wokół stacji bazowej               | 2,0                     | 1,0                        | 1,4   | 0,05                                    | 0,004                              | 0,05                                    |
| 10                | 49.56672                               | 20.84664 | GKP; w odległości 473 m od anteny sektorowej az. 260° | 2,0                     | 0,7                        | 1,0   | 0,03                                    | 0,003                              | 0,03                                    |
| 11                | 49.56747                               | 20.85264 | GKP; poziom terenu wokół stacji bazowej               | 2,0                     | 0,6                        | 0,8   | 0,03                                    | 0,002                              | 0,03                                    |
| 12                | 49.56750                               | 20.85217 | GKP; poziom terenu wokół stacji bazowej               | 2,0                     | 0,8                        | 1,1   | 0,04                                    | 0,003                              | 0,04                                    |
| 13                | 49.56753                               | 20.85172 | GKP; poziom terenu wokół stacji bazowej               | 2,0                     | 0,9                        | 1,2   | 0,04                                    | 0,003                              | 0,04                                    |
| 14                | 49.56755                               | 20.85267 | GKP; poziom terenu wokół stacji bazowej               | 2,0                     | 0,6                        | 0,8   | 0,03                                    | 0,002                              | 0,03                                    |
| 15                | 49.56767                               | 20.85222 | GKP; poziom terenu wokół stacji bazowej               | 2,0                     | 0,9                        | 1,2   | 0,04                                    | 0,003                              | 0,04                                    |
| 16                | 49.56778                               | 20.85181 | GKP; poziom terenu wokół stacji bazowej               | 2,0                     | 0,9                        | 1,2   | 0,04                                    | 0,003                              | 0,04                                    |
| 17                | 49.56764                               | 20.85306 | GKP; poziom terenu wokół stacji bazowej               | 2,0                     | 0,6                        | 0,8   | 0,03                                    | 0,002                              | 0,03                                    |
| 18                | 49.56772                               | 20.85303 | GKP; poziom terenu wokół stacji bazowej               | 2,0                     | 0,5                        | 0,7   | 0,02                                    | 0,002                              | 0,02                                    |
| 19                | 49.56808                               | 20.85292 | GKP; poziom terenu wokół stacji bazowej               | 2,0                     | 0,5                        | 0,7   | 0,02                                    | 0,002                              | 0,02                                    |
| 20                | 49.56847                               | 20.85283 | GKP; poziom terenu wokół stacji bazowej               | 2,0                     | 0,6                        | 0,8   | 0,03                                    | 0,002                              | 0,03                                    |
| 21                | 49.57164                               | 20.85197 | GKP; w odległości 473 m od anteny sektorowej az. 350° | 2,0                     | 0,5                        | 0,7   | 0,02                                    | 0,002                              | 0,02                                    |

<sup>1)</sup> Za wynik badania przyjmuje się wartość wyznaczoną jako maksymalny chwilowy wynik pomiarów powiększony o rozszerzoną niepewność pomiaru U dla współczynnika rozszerzenia k=2.

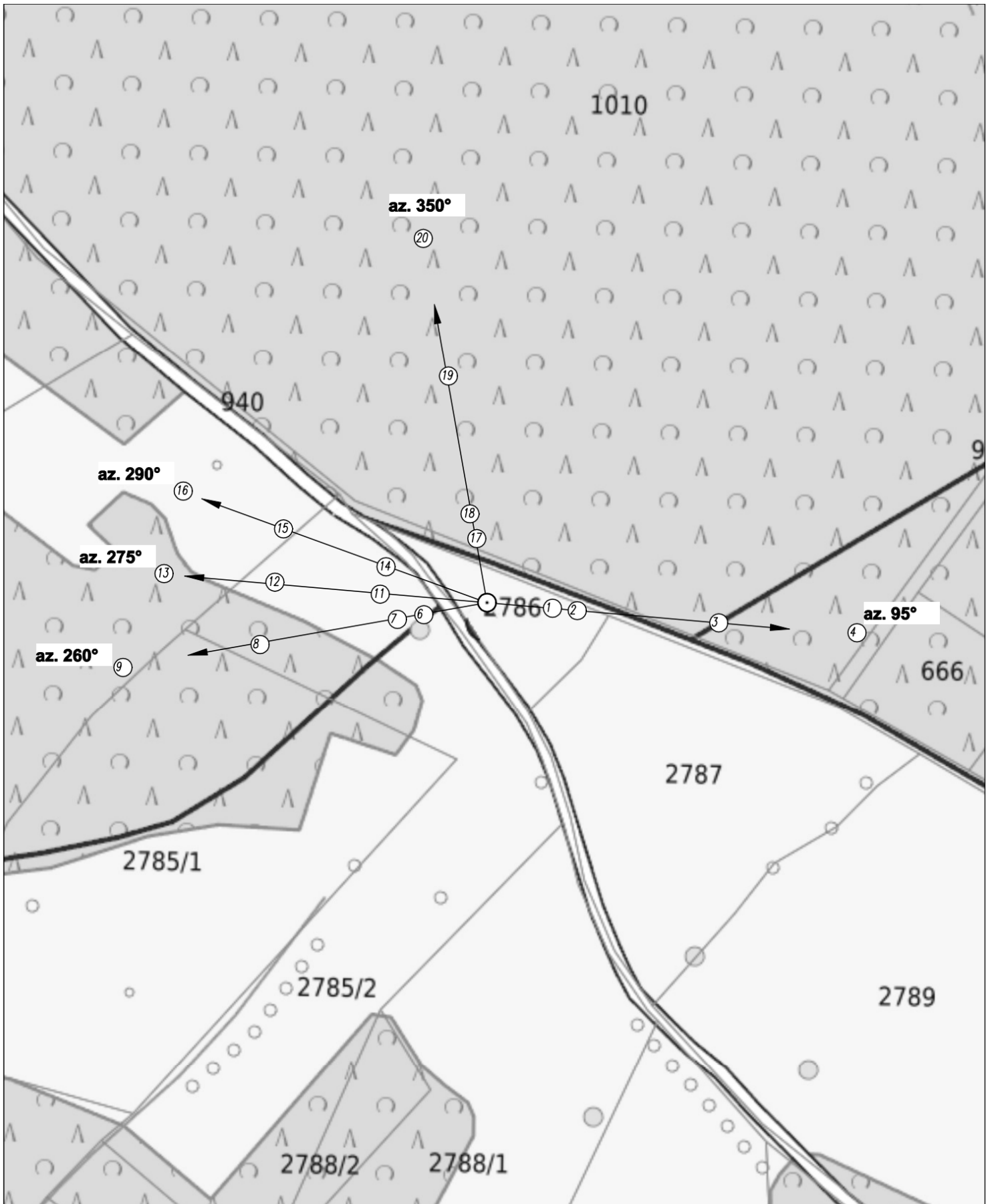
Objaśnienia:

GKP – Główny Kierunek Pomiarowy

Wyniki pomiarów odnoszą się wyłącznie do przedstawionych w sprawozdaniu punktów / pionów pomiarowych.

Dane podane przez klienta wpływają na ważność wyników.

W obszarze pomiarowym zainstalowane są urządzenia obcych operatorów, które zostały uwzględnione podczas wykonywania badań. Urządzenia te pracowały przy aktualnie występującym obciążeniu i mogą mieć wpływ na przedstawione wyniki badań.



N



UWAGA: Nie wszystkie punkty / piony pomiarowe zostały wskazane na powyższej mapie

LEGENDA:

- ⊙ – Punkty (piony) pomiarowe
- ★ – Lokalizacja źródła pola-EM

|   |   |                |
|---|---|----------------|
| Użytkownik: P4 Sp. z o.o.<br>02-677 Warszawa, ul. Wyalazek 1        | Nr stacji: NWS7010_B                      | Skala: 1:1500  |
| Nazwa rysunku: Rozmieszczenie pionów pomiarowych                    |   |                |
| Nr sprawozdania: 089/2024/OS/13                                     |   |                |
| LABORATORIUM BADAWCZE<br>SOLDI<br>ul. Bieżanowska 22, 30-812 Kraków | Opracował:<br>Laboratorium Badawcze Soldi | Nr rysunku: 01 |

## 6. Podsumowanie wyników badania

Minimalne dopuszczalne poziomy elektromagnetycznego promieniowania niejonizującego charakteryzowane przez wartości graniczne wielkości fizycznych dla miejsc dostępnych dla ludności, uwzględniające wszystkie źródła promieniowania mogące występować w obszarze pomiarowym, w zakresie pomiarowym zestawu pomiarowego, opisanego w punkcie 2 niniejszego sprawozdania, zgodnie z rozporządzeniem Ministra Zdrowia z dnia 17 grudnia 2019 r. w sprawie dopuszczalnych poziomów pól elektromagnetycznych w środowisku (Dz. U. 2019 poz. 2448), które zostały przyjęte do obliczeń wskaźników  $WM_E$  i  $WM_H$  wynoszą odpowiednio:

**Tabela nr 5**

| Zakres częstotliwości | Natężenie pola - E | Natężenie pola - H |
|-----------------------|--------------------|--------------------|
| 10 MHz – 300 GHz      | 28 V/m             | 0,073 A/m          |

Przeprowadzone badania zostały wykonane przy użyciu miernika szerokopasmowego i nie wykazały przekroczenia 70% ww. wartości dopuszczalnych. W wyniku przeprowadzonego badania potwierdzono także, że otrzymane wartości wskaźnikowe dla wszystkich punktów / pionów pomiarowych badanej instalacji radiokomunikacyjnej, nie przekroczyły wartości 1. Zatem poziomy pól elektromagnetycznych w badanych punktach są dopuszczalne.

Stwierdzenie zgodności zostało przedstawione na podstawie wyników badań oraz informacji uzyskanych od klienta (za które Laboratorium nie ponosi odpowiedzialności) dla instalacji opisanej w punkcie 4.

Stwierdzenia zgodności dokonano na podstawie zasady podejmowania decyzji i wymagań zawartych w załączniku do rozporządzenia Ministra Klimatu z dnia 17 lutego 2020 r. w sprawie sposobów sprawdzania dotrzymania dopuszczalnych poziomów pól elektromagnetycznych w środowisku (Dz. U. 2022 poz. 2630).

**Tabela nr 6**

| Badanie wykonał: | Sprawozdanie sporządził: | Sprawdził:    |
|------------------|--------------------------|---------------|
|                  |                          | 07.03.2024 r. |

-----

**KONIEC SPRAWOZDANIA**